

A. B. Прищепенко, M. B. Щелкачев

**РЕЖИМ РАБОТЫ ВЗРЫВОМАГНИТНОГО ГЕНЕРАТОРА  
НА ЕМКОСТНУЮ НАГРУЗКУ  
С УЧЕТОМ ПОТЕРЬ МАГНИТНОГО ПОТОКА**

Режим работы взрывомагнитного генератора на емкостную нагрузку (в приближении  $RLC$ -контура) рассматривался в [1, 2]. В [1] описан случай, когда в процессе работы ВМГ зависимость индуктивности  $L$  от времени квадратичная, а сопротивления  $R$  (определенного всеми потерями в контуре) — линейная. В [2] исследовалась ситуация, когда: зависимость индуктивности  $L$  от времени линейная, при этом  $R = \text{const}$ ; зависимость индуктивности  $L$  от времени экспоненциальная, считалось, что  $R = 0$  или  $\alpha = R/L = \text{const}$  (что характерно для ряда ВМГ [3—7]). Для  $\alpha = \text{const}$  получено общее решение изменения потока в цепи  $RLC$ -контура.

Настоящая работа посвящена рассмотрению более сложного случая, достовернее описывающего реальные физические процессы в ВМГ, характеризующиеся переменным во времени значением  $\alpha = \alpha(t)$ . Получены: асимптотические оценки колебательного процесса, которые, несмотря на отсутствие точного решения, позволили определить величину и закон изменения частоты, амплитуды тока и напряжения на конечных стадиях работы ВМГ; точные решения с учетом начальных условий в предположении  $\alpha = \text{const}$  для экспоненциальной и линейной зависимости индуктивности от времени. Решения исследовались для диапазона значений начальной индуктивности ВМГ  $100\ldots1000$  мкГн и емкости нагрузки  $10^{-10}\ldots10^{-8}$  Ф.

**1. Описание режима работы ВМГ** проводится в рамках эквивалентной схемы, приведенной на рис. 1. Здесь  $L_r$ ,  $L_h$  — индуктивность ВМГ и нагрузки,  $C$  — емкость нагрузки,  $R$  — эффективное сопротивление, определяющее все потери в контуре. Электрический ток  $I$ , магнитный поток

$\Phi = LI$ , напряжение на конденсаторе  $U = \frac{1}{C} \int_0^t I dt$  описываются уравнениями

$$(1.1) \quad (IL)' + RI + \frac{1}{C} \int_0^t I dt = 0, \quad \Phi' + \frac{R}{L} \Phi + \frac{1}{C} \int_0^t \frac{\Phi}{L} dt = 0,$$

$$LU'' + (L' + R)U' + \frac{1}{C}U = 0$$

( $L = L_r + L_h$  — индуктивность контура). Считается, что при  $t = 0$  (в начале работы ВМГ)  $\Phi = \Phi_0$ ,  $I = I_0$ ,  $U = 0$ . Пусть

$$(1.2) \quad L = L_0 f(\tau), \quad \tau = t/\tau_L,$$

где  $\tau_L$  — характерное время изменения индуктивности;  $L_0$  — начальная индуктивность контура;  $f(\tau) > 0$  — дифференцируемая функция ( $f(0) = 1$ ,  $f'(\tau) < 0$ ,  $f''(\tau) > 0$  — монотонно убывающая, при  $\tau \rightarrow \infty$   $f(\tau)$ ,  $f'(\tau)$ ,  $f''(\tau)$  стремятся к нулю). Такая зависимость описывает, например, изменение индуктивности спирального ВМГ, у которого шаг витков спирали возрастает по длине ВМГ. Преобразуем интегродифференциальные уравнения (1.1) в дифференциальные в безразмерной форме, воспользовавшись (1.2):

$$(1.3) \quad y_i'' + P_i(\tau)y_i' + Q_i(\tau)y_i = 0,$$

$$y_1 = J = I/I_0, \quad P_1 = 2f'/f + v, \quad Q_1 = f''/f + vf'/f + v' + \theta^2/f,$$

$$y_2 = V = U\tau_L/(I_0L_0), \quad P_2 = v + f'/f, \quad Q_2 = \theta^2/f,$$

$$y_3 = \eta = \Phi/\Phi_0, \quad P_3 = v, \quad Q_3 = v' + \theta^2/f, \quad v(\tau) = \alpha(\tau)\tau_L,$$

$$\alpha(\tau) = R(\tau)/L(\tau), \quad \theta^2 = \tau_L^2/(CL_0) = \text{const} \quad (i = 1, 2, 3).$$

Ниже индексом 1 обозначим величины, характеризующие ток, 2 — напря-

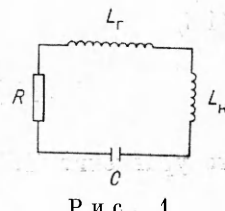


Рис. 1

жение, 3 — магнитный поток. Из уравнений (1.1)–(1.3) следует

$$(1.4) \quad \eta = Jf, \quad V' = \theta^2 J.$$

Запишем начальные условия при  $\tau = 0$  для (1.3), воспользовавшись уравнениями (1.1):

$$(1.5) \quad J = 1, \quad J' + f'/f + v = 0, \quad V = 0, \quad V' - \theta^2 = 0, \quad \eta = 1, \quad \eta' + v = 0.$$

Приведя (1.3) к двухчленному виду посредством подстановок

$$(1.6) \quad \begin{aligned} y_i &= \exp \left[ -\frac{1}{2} \int_0^\tau P_i(\tau) d\tau \right] x_i(\tau), \\ y_1 &= \frac{1}{f(\tau)} A(\tau) x_1(\tau), \quad y_2 = \sqrt{\frac{1}{f(\tau)}} A(\tau) x_2(\tau), \\ y_3 &= A(\tau) x_3(\tau), \quad A(\tau) = \exp \left[ -\frac{1}{2} \int_0^\tau v(\tau) d\tau \right], \end{aligned}$$

имеем

$$(1.7) \quad \begin{aligned} x_i'' + q_i(\tau) x_i &= 0, \quad q_i = Q_i - P_i^2/4 - P_i'/2, \\ q_1 &= q_3 = \theta^2/f + v'/2 - v^2/4, \\ q_2 &= \frac{\theta^2}{f} + \frac{1}{4} \left( \frac{f'}{f} \right)^2 - \frac{1}{4} v^2 - \frac{v'}{2} - \frac{1}{2} \frac{f''}{f} - \frac{vf'}{2f}. \end{aligned}$$

Используя свойства решений второго порядка вида (1.7) и асимптотические формулы (ВКБ-приближение [8]), по особенности поведения коэффициентов  $q_i(\tau)$  можно определить характер процесса. Пусть функция  $v(\tau)$  (характеризующая потерю магнитного потока) и ее производные ограничены во времени, тогда из (1.7), согласно свойствам функции  $f(\tau)$  (1.2), получим, что в процессе срабатывания ВМГ  $q_i(\tau)$  становится положительной независимо от знака  $q_i(0)$  в начальный момент времени. Отсюда следует, что при больших значениях емкости  $C$  ( $\theta^2 \ll 1$ ), когда в начале процесса  $q_i(0) < 0$ , имеет место апериодический режим, который при  $q_i(\tau) > 0$  сменяется колебательным. Для малых значений емкости  $C$  ( $\theta^2 \gg 1$ ) при  $q_i(0) > 0$  колебательный процесс реализуется в течение всей работы ВМГ.

Если  $v'''(\tau)$  непрерывна при  $\tau \geq 0$  (тогда и  $q_i''(\tau)$  непрерывна), а также выполняются условия [8]

$$(1.8) \quad \begin{aligned} q_i(\tau) &> 0, \quad \int_0^\infty |\alpha_i(\tau)| d\tau < \infty, \\ \alpha_i(\tau) &= \frac{1}{8} \frac{q_i''(\tau)}{q_i^{3/2}(\tau)} - \frac{5}{32} \frac{(q_i'(\tau))^2}{q_i^{5/2}(\tau)} \quad (i = 1, 2, 3), \end{aligned}$$

то уравнение (1.7) имеет при  $\tau \rightarrow \infty$  два ВКБ-асимптотических решения

$$(1.9) \quad \begin{aligned} x_{i1} &= q_i^{-1/4} \cos \int_0^\tau \sqrt{q_i(\tau)} d\tau + \varepsilon_{i1}(\tau), \quad x_{i2} = \\ &= q_i^{-1/4} \sin \int_0^\tau \sqrt{q_i(\tau)} d\tau + \varepsilon_{i2}(\tau), \\ \varepsilon_{ij}(\tau) &\leq B \int_\tau^\infty |\alpha_i(\tau)| d\tau, \quad \lim_{\tau \rightarrow \infty} \varepsilon_{ij}(\tau) = 0 \\ (B &= \text{const}, \quad i = 1, 2, 3, \quad j = 1, 2). \end{aligned}$$

Если кроме (1.8) выполняется условие

$$(1.10) \quad \lim_{\tau \rightarrow \infty} \frac{q_i'}{q_i^{3/2}} = 0,$$

то решения (1.9) линейно независимы и их можно дифференцировать [8]. При  $\tau \rightarrow \infty$  получаем

$$(1.11) \quad x_{i1}' = -q_i^{1/4} \sin \int_0^\tau \sqrt{q_i} d\tau, \quad x_{i2}' = q_i^{1/4} \cos \int_0^\tau \sqrt{q_i} d\tau.$$

Воспользовавшись формулами (1.6), (1.9) и (1.11), можно оценить частоту и амплитуду колебательного процесса. Когда  $\theta^2 \gg 1$ , то, согласно (1.7),  $q_i \approx \theta^2/f > 0$ , что характерно для спиралей, индуктивность которых определена по длине ВМГ по экспоненциальному закону или, во всяком случае, не слишком от него отличному; например, для [8]

$$(1.12) \quad f = \exp \left[ - \sum_j a_j \tau^{b_j} \right], \quad a_j = \text{const}, \quad b_j = \text{const}$$

( $j$  — любое натуральное число) или для [3]

$$(1.13) \quad f = \exp [h(1 - \exp(v\tau)) - v\tau], \quad h = \text{const}, \quad v = \text{const}.$$

Условия (1.8), (1.10) для  $q_i = \theta^2/f$ , где  $f$  определяется равенствами (1.12), (1.13), выполнены, при этом формулы (1.6), (1.7) упрощаются и асимптотика решений уравнений (1.3) имеет вид

$$(1.14) \quad \begin{aligned} J &= \theta^{-1/2} \frac{\dot{A}(\tau)}{f(\tau)^{3/4}} D_1(\tau), \quad V = \theta^{-1/2} \frac{A(\tau)}{f(\tau)^{1/4}} D_2(\tau), \\ D_i &= C_{i1} \cos B(\tau) + C_{i2} \sin B(\tau), \\ B(\tau) &= \theta \int_0^\tau f(\tau)^{-1/2} d\tau, \quad C_{ij} = \text{const} \quad (i, j = 1, 2). \end{aligned}$$

Так как  $v(\tau)$  — ограниченная функция, то из (1.6) вытекает, что с ростом  $\tau$  функция  $A(\tau)$  убывает. Поэтому амплитуда напряжения в (1.14) возрастает, если монотонно убывающая функция

$$f(\tau) = o[A(\tau)^4] = o \left[ \exp \left( -2 \int_0^\tau v(\tau) d\tau \right) \right],$$

а амплитуда тока возрастает, если

$$f(\tau) = o[A(\tau)^{4/3}] = o \left[ \exp \left( -\frac{2}{3} \int_0^\tau v(\tau) d\tau \right) \right].$$

Здесь  $F(\tau) = o[g(\tau)]$  означает, что при  $\tau \gg 1$   $F(\tau)$  — бесконечно малая величина высшего порядка по сравнению с  $g(\tau)$ .

Оценим амплитуду  $U^* = LI'$  (в безразмерной форме  $fJ'$ ), характеризующую напряжение между конусом центральной расширяющейся трубы и витками спирали [3], для  $q_i = \theta^2/f$ . Из (1.1)–(1.4) получаем

$$(1.15) \quad fJ' = -(V + Jf' + v\eta).$$

(Подставляя решение (1.14) в (1.15), находим

$$(1.16) \quad fJ' = -\frac{\theta^{-1/2} A(\tau)}{f(\tau)^{1/4}} \left[ D_2(\tau) + \frac{f'(\tau)}{\sqrt{f(\tau)}} D_1(\tau) + v \sqrt{f} D_1(\tau) \right].$$

Условие (1.10) при  $q_i = \theta^2/f$  имеет вид

$$(1.17) \quad \lim_{\tau \rightarrow \infty} \frac{q_i'(\tau)}{q_i^{5/2}(\tau)} = \lim_{\tau \rightarrow \infty} \frac{f'(\tau)}{\sqrt{f(\tau)}}.$$

Используя уравнения (1.17), а также свойства функции  $f(\tau)$ , из (1.16) получаем, что с ростом времени  $\tau$   $Jf' \ll V$ ,  $v\eta \ll V$ . Следовательно, при  $t/\tau_L \gg 1$  амплитуду  $U^*$  можно оценить по значению амплитуды напряжения  $U$  на конденсаторе.

Для оценки частоты колебаний  $\omega$  (несущей, поскольку в реальной системе наблюдается спектр частот) в решениях (1.14) воспользуемся формулой

$$(1.18) \quad B(\tau + T) - B(\tau) = \theta \left[ \int_{\tau}^{\tau+T} \frac{d\tau}{\sqrt{f(\tau)}} - \int_0^{\tau} \frac{d\tau}{\sqrt{f(\tau)}} \right] = 2\pi$$

( $B'(\tau) = \theta f(\tau)^{-1/2}$ ,  $T = 2\pi/(\omega\tau_L)$  — период колебаний). Разлагая левую часть (1.17) в ряд Тейлора (учитывая, что при  $\tau \rightarrow \infty$   $T \rightarrow 0$ ) и ограничиваясь линейным членом, находим

$$(1.19) \quad \omega = \frac{\theta}{\tau_L} f(\tau)^{-1/2} = \frac{1}{\sqrt{L(\tau)C}}, \quad L(\tau) = L_0 f(\tau), \quad \tau = \frac{t}{\tau_L}.$$

Итак, получаем, что при  $\theta^2 \gg 1$  (для малых значений емкости  $C$ ) с течением времени частота колебаний растет и не зависит от потерь магнитного потока, а зависит от емкости конденсатора и индуктивности  $L(\tau)$  (1.19). Рассмотрим случай, когда можно получить точные решения уравнений (1.1), (1.3).

2. Пусть закон изменения индуктивности ВМГ в процессе работы экспоненциальный, описанный в моделях [2, 4–7]:

$$(2.1) \quad f(\tau) = \exp(-\tau), \quad \tau = t/\tau_L.$$

Здесь  $\tau_L$  равно времени, за которое индуктивность ВМГ при срабатывании изменяется в  $e$  раз. Пусть

$$(2.2) \quad \alpha = R(\tau)/L(\tau) = \text{const} \quad (v = \text{const})$$

в течение всего времени работы ВМГ [3]. Тогда для уравнений (1.3), (1.7) запишем коэффициенты как

$$\begin{aligned} P_1 &= v - 2, \quad Q_1 = 1 - v + \theta^2 \exp(\tau), \quad q_1 = \theta^2 \exp(\tau) - v^2/4, \\ P_2 &= v - 1, \quad Q_2 = \theta^2 \exp(\tau), \quad q_2 = \theta^2 \exp(\tau) - (v - 1)^2/4. \end{aligned}$$

Представив общее решение уравнений (1.3) в виде цилиндрических функций [9] и решая начальную задачу, с использованием свойств функций Бесселя [10] имеем

$$(2.3) \quad J = \pi\theta \exp\left(\frac{2-v}{2}\tau\right) [Y_{v-1}(2\theta)J_v(\delta) - J_{v-1}(2\theta)Y_v(\delta)],$$

$$V = \pi\theta \exp\left(\frac{1-v}{2}\tau\right) [J_{v-1}(2\theta)Y_{v-1}(\delta) - Y_{v-1}(2\theta)J_{v-1}(\delta)], \quad \delta = 2\theta \exp(\tau/2).$$

В отсутствие потерь магнитного потока ( $R = v = 0$ ) из (2.3) получаем решение, совпадающее с представленным в [2]:

$$\begin{aligned} J &= \pi\theta \exp(\tau) [J_1(2\theta)Y_0(\delta) - Y_1(2\theta)J_0(\delta)], \\ V &= \pi\theta^2 \exp(\tau/2) [J_1(2\theta)Y_1(\delta) - Y_1(2\theta)J_1(\delta)]. \end{aligned}$$

К концу работы ВМГ ( $\tau \rightarrow \infty$ ) наблюдается колебательный процесс. Из (2.3) вытекает

$$(2.4) \quad J = \sqrt{\pi\theta} \exp\left(\frac{3-2v}{4}\tau\right) [Y_{v-1}(2\theta)\cos\beta - J_{v-1}(2\theta)\sin\beta],$$

$$V = \sqrt{\pi\theta^3} \exp\left(\frac{1-2v}{4}\tau\right) [J_{v-1}(2\theta)\cos\beta + Y_{v-1}(2\theta)\sin\beta], \quad \beta =$$

$$= 2\theta \exp(\tau/2) - v\pi/2 - \pi/4.$$

При  $\theta \rightarrow \infty$  из (2.3) находим

$$(2.5) \quad J = \exp\left(\frac{3-2v}{4}\tau\right) \cos \mu, \quad V = \theta \exp\left(\frac{1-2v}{4}\tau\right) \sin \mu, \quad \mu = 2\theta[\exp(\tau/2) - 1].$$

В данном случае можно применить асимптотическое приближение (1.14) вида

$$(2.6) \quad J = \theta^{-1/2} \exp\left(\frac{3-2v}{4}\tau\right) [C_{11} \cos \mu + C_{12} \sin \mu],$$

$$V = \theta^{-1/2} \exp\left(\frac{1-2v}{4}\tau\right) [C_{21} \cos \mu + C_{22} \sin \mu], \quad C_{ij} = \text{const} \quad (i, j = 1, 2).$$

Сравнивая выражения (2.5), (2.6), видим, что периоды этих колебательных процессов равны, а амплитуды соответствующих величин пропорциональны между собой. Амплитуда возрастает во времени в (2.4)–(2.6) для  $J$  при  $v < 3/2$  и  $V$  при  $v < 1/2$ .

Итак, когда  $\alpha = R/L = \text{const}$ , безразмерные значения магнитного потока, тока и напряжения в течение работы ВМГ зависят от параметров  $v$  и  $\theta$ . На основании данных [3–7] принят следующий диапазон изменения параметров:

$$(2.7) \quad \tau_L = 1 \dots 20 \text{ мкс}, \quad L_0 = 100 \dots 1000 \text{ мГн},$$

$$C = 10^{-10} \dots 10^{-8} \Phi, \quad v = 0,1 \dots 0,4.$$

Этой комбинации размерных параметров отвечает  $\theta = 1 \dots 200$ . Расчеты показали, что уже при  $1 \leq \theta \leq 2,5$  огибающие амплитуд колебательного процесса могут описываться уравнениями (2.5) с абсолютной ошибкой не выше 5 %. Напряжение на конденсаторе и ток в цепи к концу работы ВМГ можно оценивать по огибающим амплитуд колебаний. Амплитуда тока  $J$  не зависит от  $\theta$  и, следовательно, от емкости  $C$ , а амплитуда напряжения  $V$  пропорциональна  $\theta$  (напряжение  $U$  в размерной форме пропорционально  $I_0 \sqrt{L_0/C}$ ). Влияние потерь потока на амплитуду колебаний весьма существенно.

Заметим, что в случае чисто индуктивной нагрузки в цепи контура при  $C \rightarrow \infty$  ( $\theta \rightarrow 0$ ) из решения (2.3) имеем

$$(2.8) \quad J = \exp[(1-v)\tau].$$

Из сравнения (2.5) с (2.8) вытекает, что рост амплитуды тока при работе ВМГ на емкостную нагрузку менее интенсивен, чем при работе на индуктивную нагрузку для  $v < 1/2$ .

Считая, что коэффициент усиления энергии  $K_E = (1/2) CU^2 / [(1/2) L_0 I_0^2]$  есть отношение энергии конденсатора к энергии начальной запитки ВМГ, из (1.3) получим  $K_E = V^2/\theta^2$ . Значение  $K_E$  можно оценивать, пользуясь (2.5).

На рис. 2 представлена зависимость логарифма амплитуды напряжения в (2.5) от времени  $\tau$  для различных значений  $v$ :

$$\ln \frac{V}{\theta} = \ln \frac{U}{I_0 \sqrt{L_0/C}} = \frac{1}{2} \ln K_E = \frac{1-2v}{4} \tau.$$

Оценивая частоту колебательного процесса по формуле (1.18), из (2.4) или (2.5) находим, что частота  $\omega$  не зависит от потерь магнитного потока и имеет вид

$$(2.9) \quad \omega = \frac{1}{\tau_L} = \frac{\pi}{\ln [\pi \exp(-\tau/2) \theta^{-1} + 1]}.$$

С увеличением  $\theta$  или  $\tau$  частота колебаний растет и ее зависимость становится аналогичной (1.19):

$$(2.10) \quad \omega = \frac{\theta}{\tau_L} \exp(\tau/2) = \frac{1}{\sqrt{L(\tau)C}}, \quad L(\tau) = L_0 \exp(-\tau), \quad \tau = \frac{t}{\tau_L}.$$

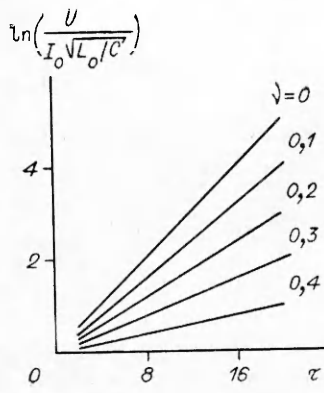


Рис. 2

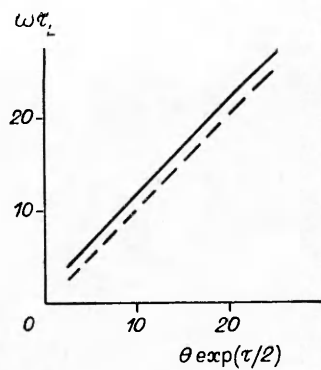


Рис. 3

На рис. 3 представлена зависимость безразмерной частоты  $\omega \tau_L$  от значения  $\theta \exp(\tau/2)$  согласно формулам (2.9) и (2.10) (сплошная и штриховая линии). Оценки показали, что при  $\theta \exp(\tau/2) \sim 16$  абсолютная ошибка при расчете  $\omega$  по формуле (2.10) не превосходит 10 %.

3. Рассмотрим ВМГ коаксиального типа (или спирального, витки которого намотаны с постоянным шагом). При этом закон вывода индуктивности запишем в форме [2, 11]

$$(3.1) \quad f = 1 - \tau,$$

где  $\tau = t/\tau_L^*$ ,  $\tau_L^*$  — характерное время, за которое индуктивность уменьшается до нуля. Тогда коэффициенты для уравнений (1.3), (1.7) следующие:

$$\begin{aligned} P_1 &= v - \frac{2}{1-\tau}, \quad Q_1 = \frac{\theta^2}{1-\tau} - \frac{v}{1-\tau} + v', \quad q_1 = \frac{\theta^2}{1-\tau} + \frac{v'}{2} - \frac{v^2}{4}, \\ P_2 &= v - \frac{1}{1-\tau}, \quad Q_2 = \frac{\theta^2}{1-\tau}, \quad q_2 = \frac{\theta^2}{1-\tau} + \frac{1}{4(1-\tau)^2} + \frac{v}{2(1-\tau)} - \frac{v^2}{4} - \frac{v'}{2}. \end{aligned}$$

В соответствии с определением  $\tau$  в (3.1) процесс срабатывания ВМГ происходит для  $0 < \tau < 1$ . Так как при  $\tau \rightarrow 1$  не выполняются условия, аналогичные (1.8) [8], то ВКБ-асимптотические оценки провести нельзя. Для случая (2.2), когда  $R(\tau)/L(\tau) = \alpha = \text{const}$  ( $v = \text{const}$ ), решение уравнений (1.3) с учетом начальных условий (1.5) можно представить в виде вырожденных гипергеометрических функций [9]. В обозначениях [10] получаем

$$\begin{aligned} (3.2) \quad J &= v \exp(-v) \Gamma\left(1 - \frac{\theta^2}{v}\right) \left\{ U\left[-\frac{\theta^2}{v}, 1, v\right] M\left[1 - \frac{\theta^2}{v}, 2, (1-\tau)v\right] + \right. \\ &\quad \left. + M\left[-\frac{\theta^2}{v}, 1, v\right] U\left[1 - \frac{\theta^2}{v}, 2, (1-\tau)v\right] \right\}, \\ V &= \theta^2 \exp(-v) \Gamma\left(-\frac{\theta^2}{v}\right) \left\{ M\left[-\frac{\theta^2}{v}, 1, v\right] U\left[-\frac{\theta^2}{v}, 1, (1-\tau)v\right] + \right. \\ &\quad \left. + U\left[-\frac{\theta^2}{v}, 1, v\right] M\left[-\frac{\theta^2}{v}, 1, (1-\tau)v\right] \right\} \end{aligned}$$

( $\Gamma(x)$  — гамма-функция). Когда потери магнитного потока малы ( $v \rightarrow 0$ ,  $\theta^2/v \rightarrow \infty$ ,  $\theta$  фиксировано), из (3.2), согласно [10], находим решение, представленное в виде цилиндрических функций и совпадающее с [2]:

$$\begin{aligned} J &= \frac{\pi \theta}{\sqrt{1-\tau}} [Y_0(2\theta) J_1(2\theta \sqrt{1-\tau}) - J_0(2\theta) Y_1(2\theta \sqrt{1-\tau})], \\ V &= \pi \theta^2 [Y_0(2\theta) J_0(2\theta \sqrt{1-\tau}) - J_0(2\theta) Y_0(2\theta \sqrt{1-\tau})]. \end{aligned}$$

К концу работы ВМГ при  $\tau \rightarrow 1$  решение (3.2) не выражается через тригонометрические функции в отличие от случая, разобранного в п. 2.

При малых значениях емкости ( $C \rightarrow 0$ ,  $\theta^2/v \rightarrow \infty$ ,  $v$  фиксировано) решение (3.2) упрощается и наблюдается колебательный режим:

$$(3.3) \quad J = \frac{\exp(-v\tau/2)}{(1-\tau)^{3/4}} \cos [20(1 - \sqrt{1-\tau})],$$

$$V = \frac{\theta \exp(-v\tau/2)}{(1-\tau)^{1/4}} \sin [20(1 - \sqrt{1-\tau})].$$

Частоту колебаний  $\omega$  в решении (3.3) можно оценивать по формулам, аналогичным (1.18), (1.19):

$$\omega = 1/\sqrt{L(\tau)C}, \quad L(\tau) = L_0(1-\tau), \quad \tau = t/\tau_L^*.$$

Из (3.3) следует, что амплитуда тока при  $\tau \leq 1 - 1/(2v)$  уменьшается, а при  $\tau > 1 - 1/(2v)$  возрастает. Амплитуда напряжения имеет подобную зависимость для  $\tau \leq 1 - 3/(2v)$ . Частота колебаний с течением времени растет.

Заметим, что характерное время  $\tau_L^*$ , определенное по (3.1), значительно превосходит  $\tau_L$  из (2.1). Поэтому для одинаковых значений  $\alpha$ , начальной индуктивности и емкости контуров безразмерные параметры  $v$  и  $\theta$  в данном пункте, пропорциональные  $\tau_L^*$ , согласно (1.3), значительно превосходят соответствующие параметры в п. 2. Расчеты показали, что рост частоты колебаний и амплитуды в формуле (3.3) менее интенсивен, чем у спиралей с экспоненциальным законом изменения индуктивности.

Проведенные исследования дают возможность оценить основные параметры, характеризующие режим работы ВМГ на емкостную нагрузку.

#### ЛИТЕРАТУРА

1. Stuetzer O. M. Compressed magnetic flux amplifier with capacitive load.— Albuquerque, 1980.— (Sandia Lab.; SAND—79—2939).
2. Кравченко А. С., Людаев Р. З., Мальков М. А. и др. Работа магнитокумулятивного генератора на емкостную нагрузку // ПМТФ.— 1981.— № 5.
3. Демидов В. А., Жаринов Е. И., Казаков С. А., Чернышев В. К. Высокоиндуктивные взрывомагнитные генераторы с большим коэффициентом усиления энергии // ПМТФ.— 1981.— № 6.
4. Иавловский А. И., Людаев Р. З., Юрыйев А. С. и др. Многосекционный генератор МК-2 // Сверхсильные магнитные поля: Тр. 3-й Междунар. конф. по генерации мегагауссных магнитных полей и родственным экспериментам.— М.: Наука, 1984.
5. Чернышев В. К., Волков Г. И., Иак С. В. и др. Влияние скорости разлета трубы на усиление энергии в небольших спиральных ВМГ // Там же.
6. Иавловский А. И., Людаев Р. З. Магнитная кумуляция // Вопросы современной экспериментальной и теоретической физики.— Л.: Наука, 1984.
7. Chernyshev V. K., Blinov A. V., Vakhrushev V. V. et al. Helical generator model and voltage distribution in the coil // Megagauss fields and pulsed power systems: Proc. Intern. conf. MG — V.— N. Y.: Nova Sci. Publ., 1990.
8. Федорюк М. В. Обыкновенные дифференциальные уравнения.— М.: Наука, 1980.
9. Камке Э. Справочник по обыкновенным дифференциальным уравнениям.— М.: Наука, 1965.
10. Справочник по специальным функциям с формулами, графиками и математическими таблицами // Под ред. М. А. Абрамовича и И. Стиган.— М.: Наука, 1979.
11. Жаринов Е. И., Демидов В. А., Рябиков А. И. и др. Предельные возможности коаксиального ВМГ с осевым инициированием заряда // Сверхсильные магнитные поля: Тр. 3-й Междунар. конф. по генерации мегагауссных магнитных полей и родственным экспериментам.— М.: Наука, 1984.

г. Москва

Поступила 5/V 1990 г.,  
в окончательном варианте — 5/IX 1990 г.